

Date : 20 octobre 2022

Modélisation des Courbes S-N en régime de fatigue LCF

Cyril THOMMERET

Safran Aircraft Engines

&

Laboratoire de Probabilités,
de Statistiques et de Modélisation
de la Sorbonne Université

Encadrants :

Claire ROMAN - *SAE YQS3*

Jean-Patrick BAUDRY - *LPSM*

Directeur :

Michel BRONIATOWSKI - *LPSM*

Essai de fatigue

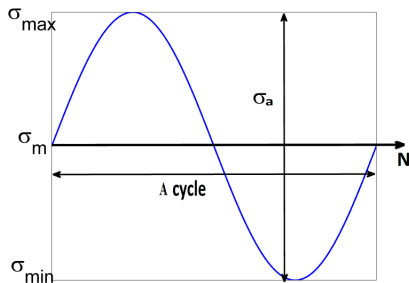


Figure – Application d'un effort sur un matériau

Données d'études : $(N_k, \sigma_k)_{1 \leq k \leq n}$

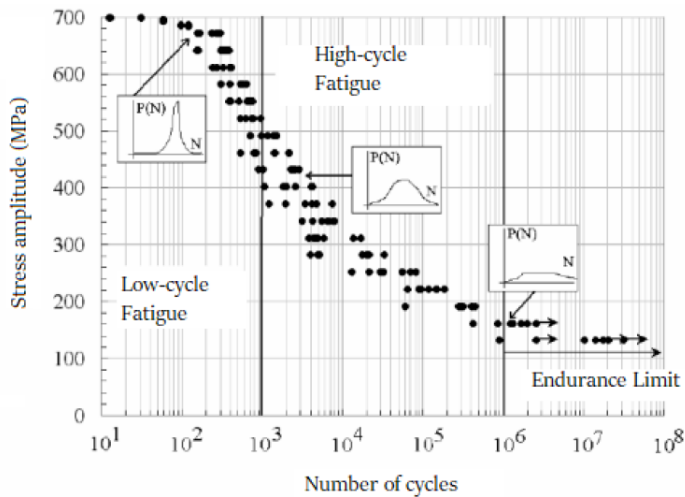


Figure – Schéma d'une courbe de Wöhler

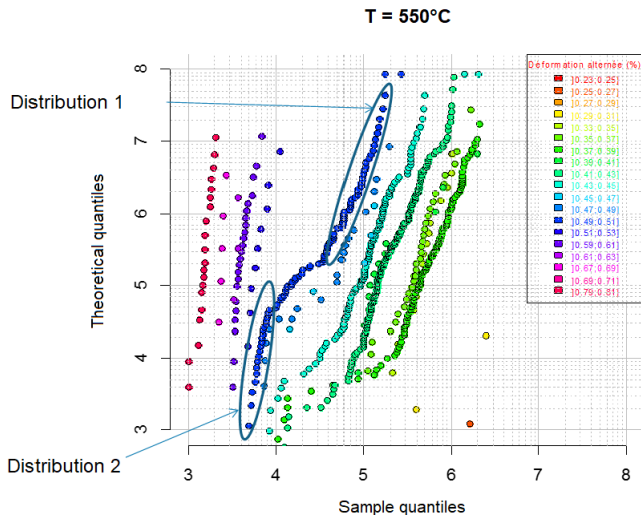


Figure – QQplot de la normalité du logarithme du nombre de cycles à rupture par niveau de déformation alternée (10-12 ASTM, T = 550°C)

Soit $\mathcal{F} = \{f_j\}$ une classe de densités de probabilités *paramétriques*.

Definition

$$g_{\pi, \theta}(x) = \sum_{j=1}^g \pi_j \cdot f_j(x|\theta_j)$$

avec $\theta = (\theta_1, \theta_2, \dots, \theta_g) \in \Theta$ et pour tout j , $\pi_j \in [0, 1]$ avec $\sum_j \pi_j = 1$.

Test sur le nombre de composante d'un mélange :

$$\mathcal{H}_0 : g = g_0 \quad \text{contre} \quad \mathcal{H}_a : g = g_0 + 1$$

Mélange à deux composantes :

$$X \sim g_{\pi^*, \theta^*} \equiv (1 - \pi^*) \cdot f_1(\cdot | \theta_1^*) + \pi^* \cdot f_2(\cdot | \theta_2^*)$$

$$\text{avec } \pi^* \in [0, 1] \text{ et } \theta^* = (\theta_1^*, \theta_2^*) \in \Theta_1 \times \Theta_2$$

Test d'homogénéité :

$$\mathcal{H}_0 : \pi^* = 0 \quad \text{contre} \quad \mathcal{H}_a : \pi^* \in (0, 1]$$

Problème **non-régulier**, car π_0 est au bord de l'espace des paramètres.

Statistique du Rapport de Vraisemblance (pour $\hat{\pi}_n$ estimateur de π^*) :

$$\Lambda(\hat{\pi}_n) \xrightarrow[n \rightarrow \infty]{\mathcal{L}} \frac{\chi^2(1) + \delta_0}{2} \quad (\text{sous } H_0, \text{ à param. connus})$$

Brève bibliographie :

- Ghosh & Sen (1985)
- Titterington (1981, 1985) & Hartigan (1985)
- Berdai & Garel (1996)
- Dacunha-Castelle & Gassiat (1997)

Definition

Soient P , Q deux lois de probabilités,
et φ une fonction convexe telle que : $\varphi(1) = 0$.

$$D_{\varphi}(Q||P) := \int \varphi\left(\frac{dQ}{dP}\right) dP$$

est la divergence de Q par rapport à P pour la fonction génératrice φ .

Forme duale de la divergence

Sous réserve d'une condition d'intégrabilité,

$$D_{\varphi}(g||g_{\pi^*,\theta^*}) = \sup_{\pi,\theta \in \mathcal{V}} \left[\int (\varphi' \circ \frac{g}{g_{\pi,\theta}})(t) \cdot g(t) dt \right. \\ \left. - \int (\varphi^{\#} \circ \frac{g}{g_{\pi,\theta}})(x) \cdot g_{\pi^*,\theta^*}(x) dx \right]$$

$X \sim P^*$ de densité g_{π^*,θ^*}

g : densité de même support que g_{π^*,θ^*}

φ' : dérivée de φ

$\varphi^{\#} \equiv \text{id} \cdot \varphi' - \varphi$

Écriture en tant que M-estimateur

Pour tout fonction g mesurable,

$$m_{\pi,\theta} : x \mapsto \int (\varphi' \circ \frac{g}{g_{\pi,\theta}})(t) \cdot g(t) dt - (\varphi^\# \circ \frac{g}{g_{\pi,\theta}})(x)$$

φ : fonction génératrice d'une divergence

De sorte que :

$$\begin{cases} D_\varphi(g \parallel g_{\pi^*,\theta^*}) &= \sup_{\pi,\theta} \mathbb{P}^* m_{\pi,\theta} \\ (\pi^*, \theta^*) &= \arg \sup_{\pi,\theta} \mathbb{P}^* m_{\pi,\theta} \end{cases} \quad (\text{Forme duale})$$

Nous regarderons : $(\hat{\pi}, \hat{\theta}_1) = \arg \max_{\pi, \theta_1 \in V} \mathbb{P}_n m_{\pi, \theta_1, \theta_2}$ avec θ_2 fixé.

V pouvant inclure des π négatifs.

Theorem

Fixons $\theta_2 \in \Theta_2$, sous certaines conditions (dont celle que $(\pi^*, \theta_1^*) \in \text{Int}([a, b] \times \Theta_1)$,

Nous avons, si $\pi^* = 0$ ou si $\theta_2^* = \theta_2$, le résultat de convergence suivant,

$$\sqrt{n} \cdot \begin{bmatrix} \hat{\pi} - \pi^* \\ \hat{\theta}_1 - \theta_1^* \end{bmatrix} \xrightarrow{\mathcal{L}} \mathcal{N}(0, H^{-1} \cdot \mathbb{P}^* \{ \Psi_{\pi^*, \theta_1^*}^t \Psi_{\pi^*, \theta_1^*} \} \cdot {}^t H^{-1})$$

où H est la Hessienne de l'application $(\pi, \theta) \mapsto \mathbb{P} m_{\pi, \phi}$ évaluée en $(\pi^*, \theta_1^*, \theta_2)$,

et où $\Psi_{\pi^*, \theta_1^*} = \begin{bmatrix} \partial_{\pi} m_{\pi, \theta_1} \\ \partial_{\theta_1} m_{\pi, \theta_1} \end{bmatrix} \Big|_{\pi^*, \theta_1^*, \theta_2}$.

Corollary

Sous certaines conditions (dont celle que $(\pi^, \theta_1^*) \in \text{Int}([a, b] \times \Theta_1)$,
Nous avons, si $\pi^* = 0$ ou si $\theta_2^* = \theta_2$, le résultat de convergence suivant,*

$$\sqrt{\frac{n}{a_n}} \cdot (\hat{\pi} - \pi^*) \xrightarrow{\mathcal{L}} \mathcal{N}(0, 1)$$

où a_n est le terme (1, 1) de $H_n^{-1} \cdot \{\mathbb{P}_n \Psi_{\hat{\pi}, \hat{\theta}_1} {}^t \Psi_{\hat{\pi}, \hat{\theta}_1}\} \cdot {}^t H_n^{-1}$, avec H_n la Hessienne de l'application $(\pi, \phi) \mapsto \mathbb{P}_n m_{\pi, \phi}$ évaluée en $(\hat{\pi}, \hat{\theta}_1, \theta_2)$.

Definition

La statistique de test sur le nombre de composantes :

$$T_n := \sup_{\theta_2} \sqrt{\frac{n}{a_n}} \cdot \hat{\pi} \quad (\text{Supremum d'un processus gaussien})$$

Exemple : Mélange de Lois Uniformes avec $\eta^* \in (0, 1)$:

$$X \sim g_{\pi^*, \theta^*} \equiv (1 - \pi^*) \cdot \mathbb{1}_{(0,1)} + \frac{\pi^*}{\eta^*} \cdot \mathbb{1}_{(0, \eta^*)}$$

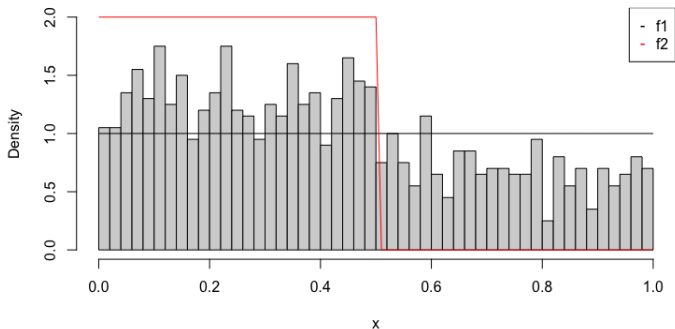


Figure – Histogramme pour $(\pi^*, \eta^*) = (0.5, 0.5)$ d'un échantillon de taille $n = 10^3$

1^{er} cas d'application : Divergence de Kullback-Leiber modifiée.

$$\varphi(x) := x \cdot \log x - x + 1$$

$$m_{\pi,\eta}(x) := \log g_{\pi,\eta}(x) - \log g(x) \quad \& \quad \hat{\pi}(\mathbb{X}, \eta) := \arg \max_{\pi} \mathbb{P}_n m_{\pi,\eta}$$

$$\Rightarrow \boxed{\hat{\pi}(\mathbb{X}, \eta) = \left(1 + \frac{\eta}{1 - \eta}\right) \cdot \frac{n_-}{n} - \frac{\eta}{1 - \eta}}$$

n_- : Nombre de données inférieures à η

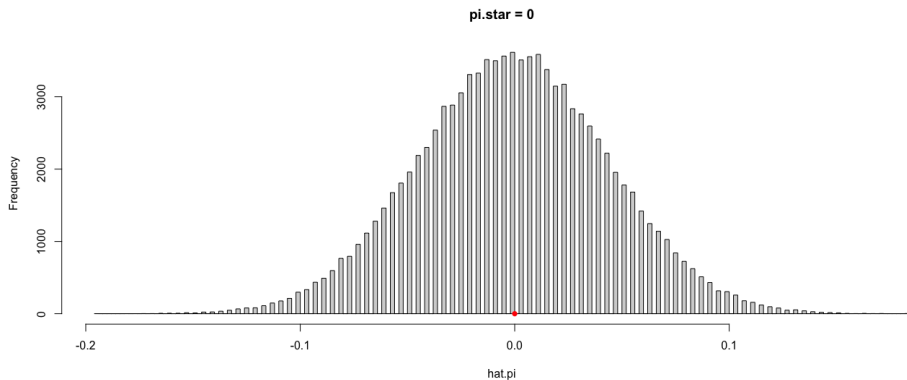


Figure – Histogramme des $\hat{\pi}_n$ pour $n = 500$, $k = 10^5$

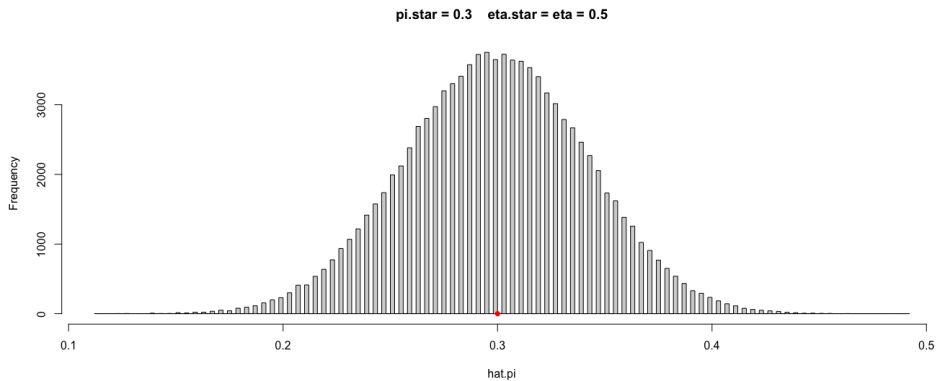


Figure – Histogramme des $\hat{\pi}_n$ pour $n = 500$, $k = 10^5$

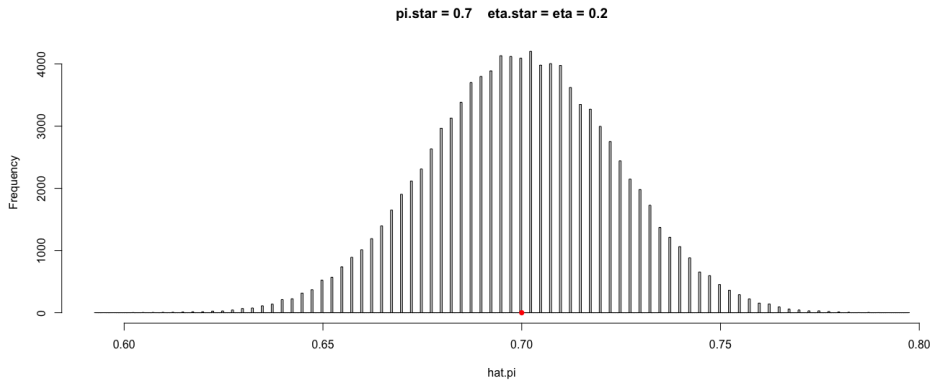


Figure – Histogramme des $\hat{\pi}_n$ pour $n = 500$, $k = 10^5$

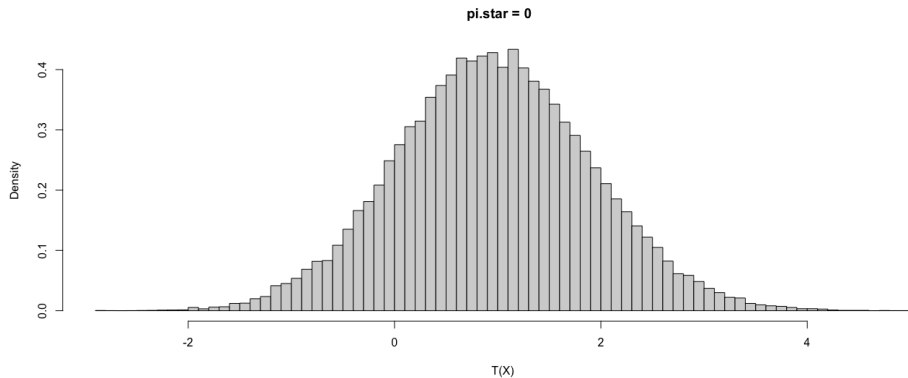


Figure – Histogramme de la statistique T_n pour $n = 500$, $k = 10^5$

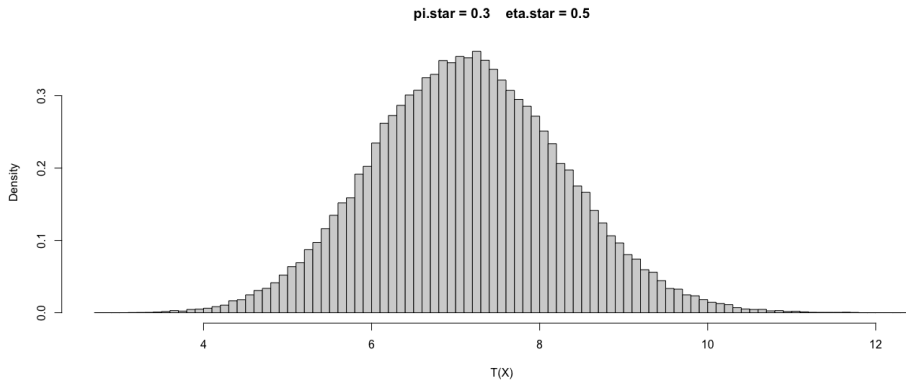


Figure – Histogramme de la statistique T_n pour $n = 500$, $k = 10^5$

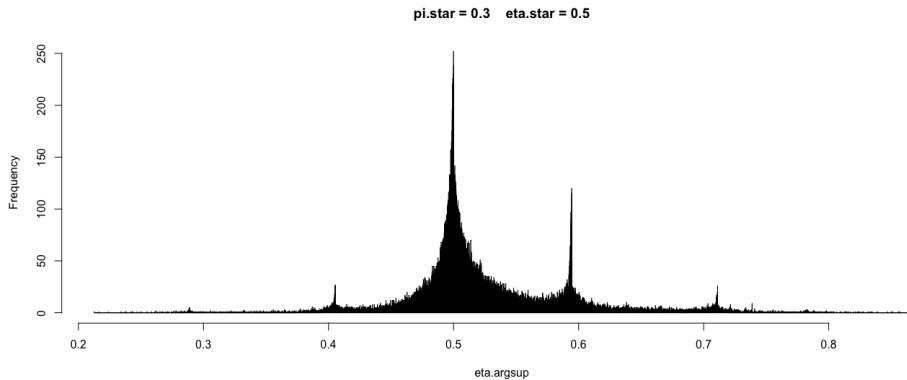


Figure – Histogramme des $\hat{\eta}_n$ pour $n = 500$, $k = 10^5$

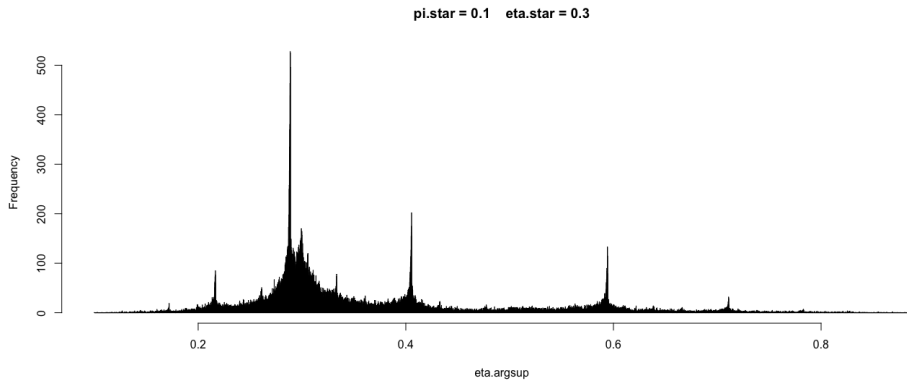


Figure – Histogramme des $\hat{\eta}_n$ pour $n = 500$, $k = 10^5$

Deuxième exemple : Divergence du χ^2 .

$$\varphi(x) := (x - 1)^2/2$$

$$\mathbb{P}_n m_{\pi,\eta} = \frac{1}{ab} \cdot [b \cdot \eta + a \cdot (1 - \eta)] - \frac{1}{2} \cdot \left[1 + \frac{1}{n} \cdot \left\{ \frac{n_-}{a^2} + \frac{n_+}{b^2} \right\}\right]$$

où $a = 1 + \pi \cdot (\frac{1}{\eta} - 1)$ et $b = 1 - \pi$

$$\Rightarrow \boxed{\hat{\pi}(\mathbb{X}, \eta) \text{ racine d'un polynôme de degré 5}}$$

- Différentes méthodes de recherches.

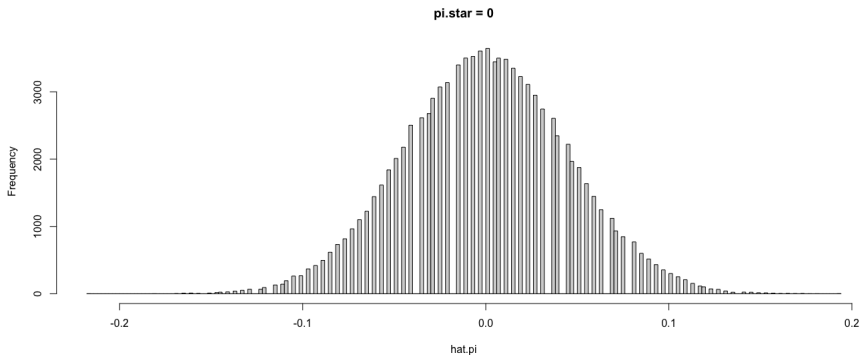


Figure – Histogramme des $\hat{\pi}_n$ pour $n = 500$, $k = 10^5$ dans le cadre χ^2

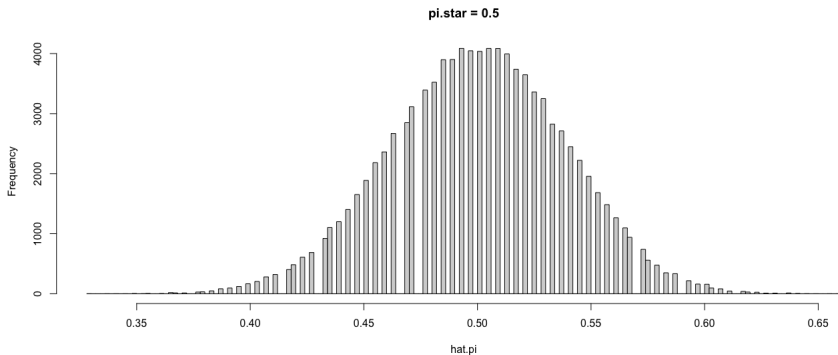


Figure – Histogramme des $\hat{\pi}_n$ pour $n = 500$, $k = 10^5$ dans le cadre χ^2

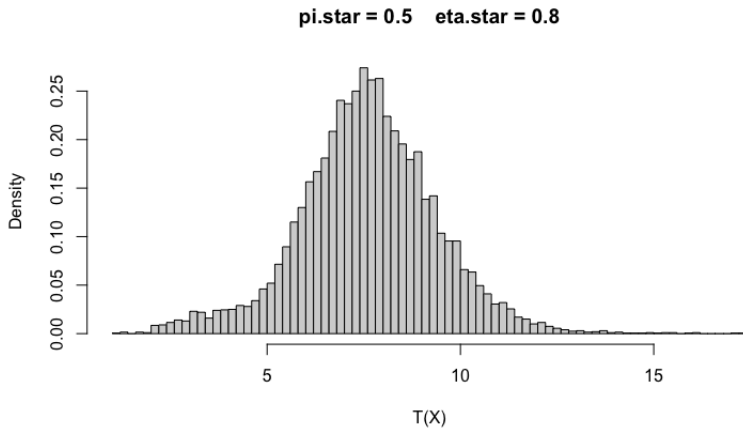


Figure – Histogramme des $\hat{\pi}_n$ pour $n = 500$, $k = 10^4$ dans le cadre χ^2

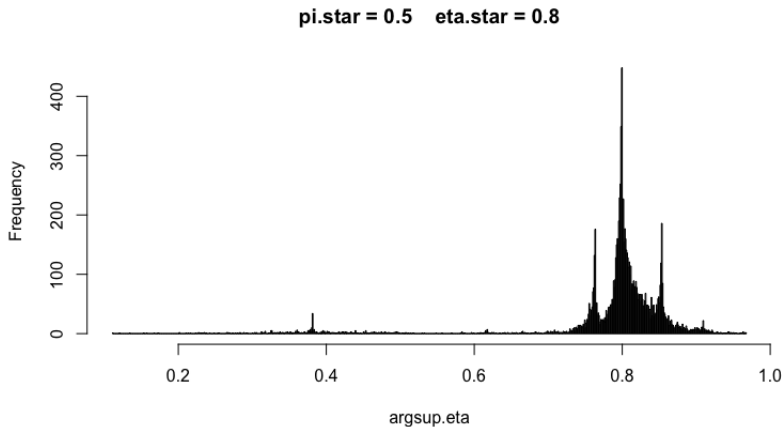


Figure – Histogramme des $\hat{\pi}_n$ pour $n = 500$, $k = 10^4$ dans le cadre χ^2

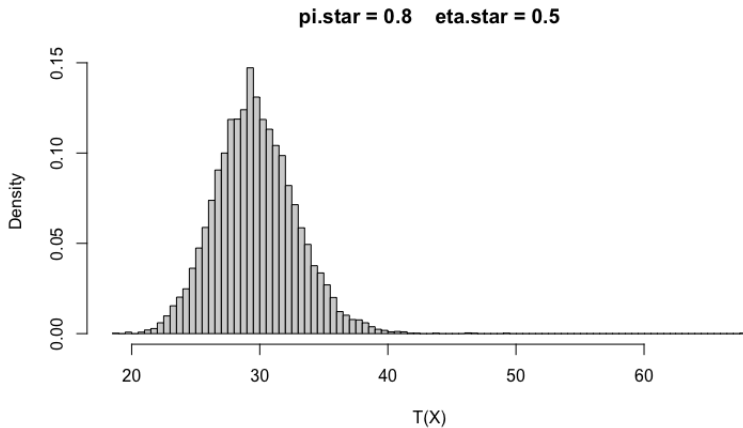


Figure – Histogramme des $\hat{\pi}_n$ pour $n = 500$, $k = 10^4$ dans le cadre χ^2

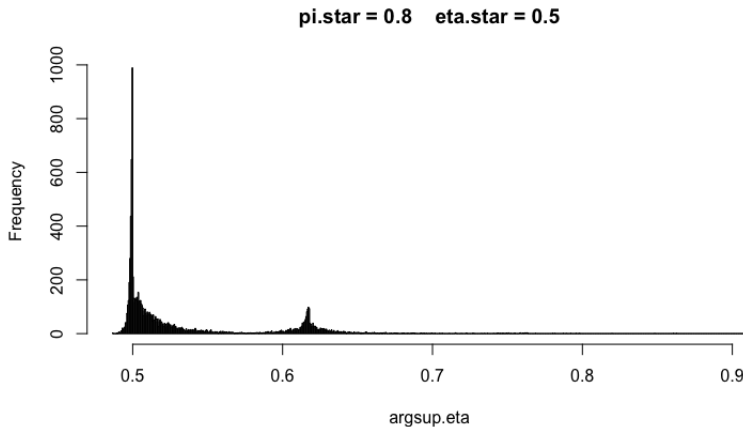


Figure – Histogramme des $\hat{\pi}_n$ pour $n = 500$, $k = 10^4$ dans le cadre χ^2

Merci ♣